

Розподіл заданий густиною (7) називемо двовимірним розподілом гіпергеометричної функції, щоб не спутувати з дискретним гіпергеометричним розподілом.

При $\gamma = 0$ густина (7) стає добутком двох одновимірних густин Берра [2]. Розподіл асиметрії експресу у вибірках з нормальню популляції маєть одновимірні густини, що виражаються гіпергеометричною функцією [3]. Це показує, що розподіл з густиною (7) може застосовуватися у математичній статистиці.

Розподіли (6) і (7) виведено на основі відповідних властивостей зображення (5) густини (4). Аналогічно до того, як для густини (4) записано густини (3) і (4), можна записати маргінальні і умовні густини відповідні густині (7) двовимірного розподілу гіпергеометричної функції, а також знайти їхні числові характеристики. І густини, і числові характеристики виражаються в термінах гіпергеометричної функції.

Література

1. Квіт І. Д. Зображення випадкового вектора. Вісник Львівського ун-ту, сер. мех.-мат., вип. 7. Вид-во Львівського ун-ту, 1972.
2. Вигг I. W. Ann. Math. Statist., 1942, 13, 215-232.
3. Мес Кау А. Т. Biometrika, 1933, 25, 204-210, 411-415.

УДК 517:946

Є.М.ПАРАСЮК, А.І.КАРДАШ

ОДНА ЧИСЕЛЬНА РЕАЛІЗАЦІЯ РОЗ'ЯЗКУ ОБЕРНЕНОЇ ЗАДАЧІ ТЕОРІЇ ЛОГАРИФМІЧНОГО ПОТЕНЦІАЛУ ПРОСТОГО ШАРУ

Як відомо, під оберненою задачею теорії логарифмічного потенціалу розуміється задачу про знаходження форми області за заданим зовнішнім потенціалом і при заданій густині. Аналогічно ставиться обернена задача і для потенціалу простого шару. При цьому можна вважати, що зовнішній потенціал заданий лише на деякій замкненій кривій C , всередині якої знаходиться шукана індукуюча крива Γ .

У роботі [1] було запропоновано один простий спосіб знаходження розв'язку вказаної задачі в припущеннях, що шукана крива γ симетрична відносно осей координат, а густини μ кусково- стала

$$\mu(\varphi) = \begin{cases} +1, & 0 < \varphi < \pi, \\ -1, & -\pi < \varphi < 0. \end{cases}$$

де φ - полярний кут. При цьому для простоти роль кривої C відігравало коло з центром у початку координат радіуса R .

Вказаний метод ґрутувався на можливості застосування ортогональних рядів до розв'язування інтегро-диференціального рівняння першого порядку:

$$\int_0^{2\pi} \mu(\varphi) \ln \frac{1}{\sqrt{R^2 + z^2(\varphi) - 2Rz(\varphi) \cos(\theta - \varphi)}} \sqrt{z^2(\varphi) + z'^2(\varphi)} d\varphi = f(\theta), \quad (1)$$

до якого зводиться навдана задача. Тут $z = z(\varphi)$ - полярне рівняння шуканої кривої γ ; $f(\theta)$ - задана функція-потенціал на колі C .

Зображення функції $z(\varphi)$ і $f(\theta)$ через відповідні ряди Фур'є, після нескладних обчислень рівняння (1) зводиться до безмежної системи трансцендентних рівнянь виду

$$g_p(z_0, z_1, z_2, \dots) = 0, \quad p = 0, 1, 2, 3, \dots \quad (2)$$

де

$$g_p(z_0, z_1, z_2, \dots) = \int_0^{\frac{\pi}{2}} \sqrt{z^2 + z'^2} \left(\frac{z}{R} \right)^{2p+1} \sin(2p+1)\varphi d\varphi - \frac{2p+1}{4} f_{2p+1}.$$

Тут $z = \sum_{n=0}^{\infty} z_n \cos 2n\varphi$; f_{2p+1} - коефіцієнт Фур'є функції $f(\theta)$.

Далі до системи (2) спочатку застосовують метод редукції, а потім - метод найскорішого спуску. При цьому $(S+1)$ -наближення знаходиться за формулами

$$z_n^{(s+1)} = z_n^{(s)} - \alpha \beta_n^{(s)}, \quad n = 0, 1, 2, \dots, N-1, \quad (3)$$

де числа $\rho_n^{(s)}$ становлять розв'язок лінійної алгебраїчної системи

$$\sum_{q=0}^{N-1} \frac{\partial g_p(z_0^{(s)}, \dots, z_{N-1}^{(s)})}{\partial z_q} \rho_q^{(s)} = g_p(z_0^{(s)}, \dots, z_{N-1}^{(s)}), \quad (4)$$

$p=0, 1, 2, \dots, N-1$, а число α підбирається з умови

$$\|g(z_0^{(s)}, \dots, z_{N-1}^{(s)})\| > \|g(z_0^{(s)} - \alpha \rho_0^{(s)}, \dots, z_{N-1}^{(s)} - \alpha \rho_{N-1}^{(s)})\|. \quad (5)$$

Тут

$$\|g(z_0, \dots, z_{N-1})\| = \sum_{p=0}^{N-1} g_p^2(z_0, \dots, z_{N-1}).$$

В [1] наводився приклад, який ілюстрував достатню ефективність такого методу.

Однак вказаний метод має той недолік, що в цьому процес збіжності суттєво залежить від вибору нульового наближення при вибраному N , оскільки можливі локальні мінімуми можуть мати значний вплив на метод найскорішого спуску.

Зокрема, згаданий в [1] приклад не вдалось розв'язати методом спуску, беручи за нульове наближення одиничне коло.

Ми наводимо нижче приклад, який дає підстави твердити, що процес вибору нульового наближення можна удосконалювати шляхом поступового погідження наперед вибраного наближення. При цьому метод спуску досить опочатку здійснювати при малому N . Іноді це приводить прямо до кінцевої мети, про що свідчить і пропонований приклад.

На машині "Мінськ-22" ми розв'язували задачу про знаходження замкнutoї кривої, що індукує на колі C радіуса $R=5$ функцію-потенціал

$$f(\theta) = 3,135 \sin \theta - 0,118 \sin 3\theta + 0,0101 \sin 5\theta. \quad (6)$$

Нульове наближення вибирали найбільшим природним чином: одиничне коло $z_0(\varphi) \equiv 1$. Спуск здійснювали при $N=3$. У результаті були одержані такі наближення (обчислення проводили з точністю 1/512) :

$$z_1(\varphi) = 1,323 + 0,148 \cos 2\varphi + 1,299 \cos 4\varphi;$$

$$z_2(\varphi) = 0,863 + 0,358 \cdot 10^{-1} \cos 2\varphi + 1,683 \cos 4\varphi;$$

$$z_3(\varphi) = 0,810 - 0,250 \cos 2\varphi + 1,493 \cos 4\varphi;$$

$$z_4(\varphi) = 0,831 - 0,474 \cos 2\varphi + 1,203 \cos 4\varphi;$$

$$z_5(\varphi) = 0,867 - 0,588 \cos 2\varphi + 1,043 \cos 4\varphi;$$

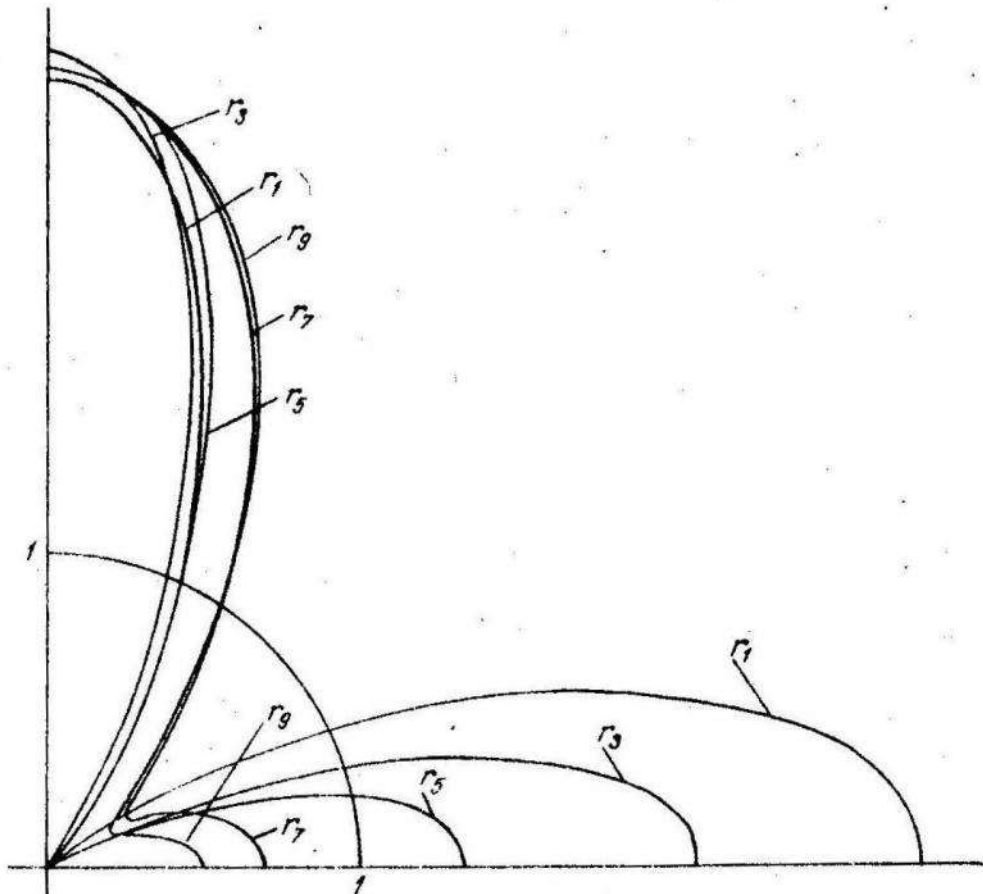
$$z_6(\varphi) = 0,917 - 0,700 \cos 2\varphi + 0,875 \cos 4\varphi;$$

$$z_7(\varphi) = 1,048 - 0,893 \cos 2\varphi + 0,550 \cos 4\varphi;$$

$$z_8(\varphi) = 1,024 - 0,958 \cos 2\varphi + 0,508 \cos 4\varphi;$$

$$z_9(\varphi) = 1,003 - 0,995 \cos 2\varphi + 0,501 \cos 4\varphi;$$

$$z_{10}(\varphi) = 1,000 - 1,000 \cos 2\varphi + 0,500 \cos 4\varphi;$$



На рисунку зображені всі непарні наближення на проміжку $[0, \frac{\pi}{2}]$.

як виявилось, досить виконати десять ітерацій, щоб добритися необхідної точності наближення. Про це, зокрема, свідчить значення останньої норми

$$\|g(z_0^{(10)}, z_1^{(10)}, z_2^{(10)})\| = \|g(1, -1, \frac{1}{2})\| = 0.203 \cdot 10^{-11}.$$

Зауважимо, що майже всі наближення одержані при $\alpha = 1$, крім першого (де $\alpha = \frac{1}{4}$), другого, п'ятого і шостого, що одержані при $\alpha = \frac{1}{2}$.

При цьому на одну ітерацію в середньому використовувалось до 2 хв мінімального часу.

При $N > 4$ процес спуску від одиничного кола зупиняється. Це означає, що одиничне коло в цьому випадку є грубим наближенням. При поліпшенному пульсовому наближенні ($z_0(\varphi) = z_1(\varphi)$) процес спуску продовжується і знову приводив до мети. Але при цьому кількість мінімального часу на одну ітерацію зросла до 42 хв.

Література

І. Парасюк Е. Н. та ін. Об одном методе решения обратной задачи теории логарифмического потенциала. – "Физика Земли", 1972, № 11

УДК 539.3:534.1

Н.П.ФЛЕЙШМАН, І.І.ОСИПОВА

ВІЛЬНІ КОЛІВАННЯ ПРЯМОКУТНОЇ ПЛАСТИНКИ З ЕКСЦЕНТРИЧНИМИ РЕБРАМИ

Вплив симетричних ребер жорсткості на коливання ізотропних і трансверсально ізотропних пластинок досліджувався в багатьох роботах [6, 3, 1] та інші.

Ми розглядаємо вільні коливання прямокутної ізотропної пластинки товщини h , жарніро обпертої по двох паралельних сторонах $x = 0$, $x = a$ і цідкріпленої різними ізотропними тонкими-пружними ексцентричними опорними ребрами з іншого матеріалу по краях $y = \pm b$ (рис. 1).